

О СВЯЗИ ПАРАМЕТРОВ ОПТИЧЕСКОГО ИЗОБРАЖЕНИЯ С
ДЕФОРМАЦИЯМИ ОТРАЖАЮЩЕЙ ПОВЕРХНОСТИ

Саркисян А.А.

Ա.Ա.Սարգսյան

Օպտիկական պատկերի պարամետրերի և անդրադարձնող մակերևույթի դեֆորմացիաների կապի մասին

Անդրադարձնող օպտիկական մակերևույթների ստուգման համար գոյություն ունեն անարբացիտ կետերի հասկարյունների վրա հիմնված բազմազան մեթոդներ: Այդ հարցը գրավանդության մեջ բավարար ծավալով լուսարանված է: Մերոյների նպատակը օպտիկական մակերևույթների շեղումներով (լուխալանից) պայմանավորված ալիքային ճախտի աղավաղումների փորձնական որոշումն է: Սակայն, մեծ հայելիների ամրացման համակարգեր նախագծելիս հարկ է լինում այդ առնչությունը ունենալ անախիլ տեսքով՝ նախագծվող կոնստրուկցիան գնահատելու համար: Ներկայացված աշխատանքում սխիլիկ հայելու համար դուրս են բերված անդրադարձնող մակերևույթի շեղումներից կախված լուսավոր կետի պատկերի աղավաղումները (երկրաչափական մկր. էներգիայի բաշխումը):

A.A.Sarkisian

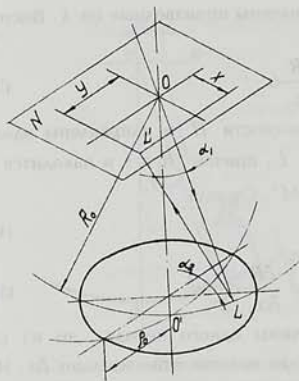
On the relation between the parameters of the optical image and the deformations of the reflecting surface

В работе приводятся аналитические соотношения, связывающие параметры оптического изображения точечного источника света, помещенного в центре кривизны отражающей сферической поверхности, с деформациями сферы. Полученные зависимости позволяют оценить качество изображения с учетом возможных деформаций отражающей поверхности.

Методы контроля отражающих поверхностей, основанные на использовании свойств анаберрационных точек, весьма разнообразны. В достаточном объеме с необходимой библиографией они приведены в [1]. Целью методов является экспериментальное определение искажений сферического фронта, вызванных отклонениями отражающей поверхности. Однако на стадии проектирования подвесов больших зеркал возникает необходимость, для оценки конкретной конструкции, иметь эту связь в аналитическом виде.

В данной работе, на примере сферического зеркала, выводятся аналитические зависимости между отклонениями отражающей поверхности (возможными деформациями) и искажениями анаберрационного изображения точечного источника, а также распределением энергии в пятне.

Имеется отражающая поверхность (фиг. 1), выполненная в виде идеального сферического сегмента (радиус сферы R_0 , радиус сегмента ρ_0), в центре кривизны (точка O) которого расположен точечный источник света. Очевидно, отраженные от сферы лучи сойдутся в той же точке O . При деформациях сферической поверхности точечное изображение исказится, и в плоскости N , проходящей через точку O и перпендикулярной главной оптической оси OO' , вместо точки получится пятно.



Фиг. 1

Как известно [2], сферическую поверхность можно представить вектор-функцией

$$R = R[\alpha_1; \alpha_2] \quad (1)$$

Свяжем с точкой $L(\alpha_1; \alpha_2)$ недеформированной сферической поверхности оси координатного базиса с единичными векторами e_1, e_2, e_n . e_1 и e_2 касательны к координатным линиям α_1 и α_2 , а e_n перпендикулярен к e_1 и e_2 .

При деформации сферической поверхности точка $L(\alpha_1; \alpha_2)$ переместится на величину вектора $\Delta(\alpha_1; \alpha_2)$ в точку K . Можно записать

$$\Delta = e_1 u + e_2 v + e_n w$$

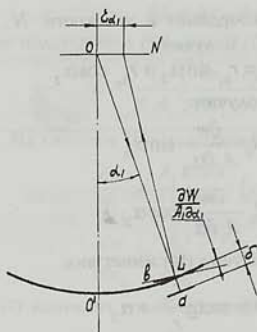
где u, v, w являются проекциями вектора Δ на базисные оси. Введем обозначения $e_1 u = u, e_2 v = v, e_n w = w$. Проведем плоскость H , касающуюся сферы в точке L и включающую векторы u и v . Проведем перпендикуляр к плоскости из точки M - конца результирующего вектора $u + v$ до пересечения со сферой (точка M'). Если криволинейные координаты представить в виде функций какого-либо параметра s , то уравнение (1) запишется в виде

$$R = R[\alpha_1(s); \alpha_2(s)]$$

и опишет кривую на сферической поверхности. Можно за параметр s принять длину дуги кривой, проходящей через точки L, M' и находящейся в плоскости LKM . Когда точки L и M' достаточно близки, то дугу LM' можно принять за приращение аргумента Δs . Соответствующее приращение радиус-вектора R при переходе из L в M' выразится вектором LM' , который по формуле Тейлора можно представить в виде

$$LM' = R(s_{M'}) - R(s_L) = \Delta R = \dot{R}(s_L) \Delta s + \frac{1}{2} \ddot{R}(s_L) (\Delta s)^2 + \dots \quad (2)$$

Пользуясь правилами геометрической оптики, свяжем деформации сферической поверхности с параметрами пятна изображения. Сферическую поверхность отнесем к системе ортогональных криволинейных координат, в данном случае углов α_1 и α_2 , отсчитываемых соответственно вдоль меридиана и параллельного круга.



Фиг. 3

При наклоне, определяемом углом $\partial w / A_1 \partial \alpha_1$, когда нормаль к ΔF остается в плоскости чертежа (положение в), отраженный луч, оставаясь в плоскости чертежа, смещается в плоскости изображения N на величину

$$r_{\alpha_1} = \frac{2R_0}{\cos \alpha_1} \frac{\partial w}{A_1 \partial \alpha_1} \quad (7)$$

где

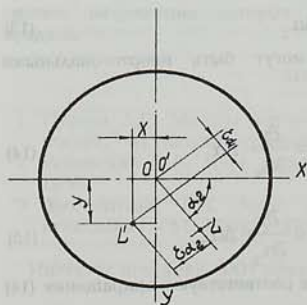
$$A_1 = \left| \frac{\partial R}{\partial \alpha_1} \right|$$

В случае наклона площадки ΔF на угол $\partial w / A_2 \partial \alpha_2$, когда нормаль к ней перемещается в плоскости, перпендикулярной к плоскости чертежа (фиг.3) и проходящей через OL , луч смещается в плоскости N перпендикулярно к r_{α_1} на величину

$$r_{\alpha_2} = 2R_0 \frac{\partial w}{A_2 \partial \alpha_2} \quad (8)$$

где

$$A_2 = \left| \frac{\partial R}{\partial \alpha_2} \right|$$



Фиг.4

Отсюда можно утверждать, что параметры пятна изображения обусловлены не перемещением w , а его производными $\partial w / \partial \alpha_1$ и $\partial w / \partial \alpha_2$.

На фиг. 4 изображена проекция сферы на плоскость изображения N .

Как видно из чертежа, смещение r_{α_1} и проекция OL находятся на одной прямой, а r_{α_2} перпендикулярно к r_{α_1} .

Введем систему прямоугольных координат в плоскости N , тогда для координат точки L' , связанной с L , получим:

$$x = r_{\alpha_1} \cos \alpha_2 - r_{\alpha_2} \sin \alpha_2, \quad y = r_{\alpha_1} \sin \alpha_2 + r_{\alpha_2} \cos \alpha_2 \quad (9)$$

После подстановки (7) и (8) в (9) получим:

$$\begin{aligned} x &= \frac{2R_0}{\cos \alpha_1} \frac{\partial w}{A_1 \partial \alpha_1} \cos \alpha_2 - 2R_0 \frac{\partial w}{A_2 \partial \alpha_2} \sin \alpha_2 \\ y &= \frac{2R_0}{\cos \alpha_1} \frac{\partial w}{A_1 \partial \alpha_1} \sin \alpha_2 + 2R_0 \frac{\partial w}{A_2 \partial \alpha_2} \cos \alpha_2 \end{aligned} \quad (10)$$

В полярных координатах r и θ система (10) имеет вид:

$$r = \sqrt{r_{\alpha_1}^2 + r_{\alpha_2}^2}; \quad \theta = \arctg \frac{r_{\alpha_2}}{r_{\alpha_1}} + \alpha_2 \quad (11)$$

Полученные выражения (10) и (11) показывают, что при известном $w(\alpha_1, \alpha_2)$, α_1 и α_2 могут рассматриваться как криволинейные координаты для пятна изображения. Каждой точке сферической поверхности соответствует точка на изображении, следовательно, можно построить оптическое изображение, соответствующее данному деформированному состоянию сферы. Например, задавая $\alpha_1 = \text{const}$, можно построить однопараметрическую кривую на оптическом изображении $x = x(\alpha_2)$; $y = y(\alpha_2)$, соответствующую окружности на сфере.

Данному деформированному состоянию сферы соответствует и определенное распределение энергии на оптическом изображении, определяемое коэффициентом

$$k = \frac{\Delta f}{\Delta F} \quad (12)$$

где

ΔF - элементарная площадка поверхности сферы (окрестность точки L);

Δf - соответствующая ΔF площадка на оптическом изображении (окрестность точки L');

Согласно [2], при ортогональности α_1 и α_2 для сферы можно записать, что

$$\Delta F = A_1 \Delta \alpha_1 \cdot A_2 \Delta \alpha_2 \quad (13)$$

В общем случае α_1 и α_2 могут быть неортогональными координатами для пятна изображения.

Можно записать

$$\Delta x_1 = \frac{\partial x}{\partial \alpha_1} \cdot \Delta \alpha_1, \quad \Delta y_1 = \frac{\partial y}{\partial \alpha_1} \cdot \Delta \alpha_1 \quad (14)$$

и

$$\Delta x_2 = \frac{\partial x}{\partial \alpha_2} \cdot \Delta \alpha_2, \quad \Delta y_2 = \frac{\partial y}{\partial \alpha_2} \cdot \Delta \alpha_2 \quad (15)$$

т. е. приращениям $\Delta \alpha_1$ и $\Delta \alpha_2$ на сфере соответствуют приращения (14) и (15), которые могут рассматриваться как ортогональные компоненты векторов $\Delta \alpha_1$ и $\Delta \alpha_2$ на оптическом изображении, следовательно,

$$\Delta f = \Delta x_1 \cdot \Delta y_2 - \Delta x_2 \cdot \Delta y_1 \quad (16)$$

После подстановки (13), (14), (15), (16) в (12) получим:

$$k = \frac{1}{A_1 A_2} \left(\frac{\partial x}{\partial \alpha_1} \frac{\partial y}{\partial \alpha_2} - \frac{\partial x}{\partial \alpha_2} \frac{\partial y}{\partial \alpha_1} \right)$$

Из системы (10), определяя $\partial w / \partial \alpha_1$ и $\partial w / \partial \alpha_2$, получим:

$$\begin{aligned} \frac{\partial w}{\partial \alpha_1} &= \frac{A_1 \cos \alpha_1}{2R_0} (x \cos \alpha_2 + y \sin \alpha_2) \\ \frac{\partial w}{\partial \alpha_2} &= \frac{A_2}{2R_0} (-x \sin \alpha_2 + y \cos \alpha_2) \end{aligned} \quad (17)$$

Из (17) вытекает, что для определения $\partial w / \partial \alpha_1$ и $\partial w / \partial \alpha_2$ нужно иметь координаты соответствующих точек $L(\alpha_1; \alpha_2)$ и $L'(x, y)$. Если поверхность деформированной сферы сканировать узким пучком, проходящим через центр кривизны O сферы, то пучок, отраженный от окрестности точки L сферы, как показано на фиг. 1, с известными координатами α_1 и α_2 в плоскости N , соберется в окрестности точки L' изображения с координатами x и y , которые можно определить (замерить). Подставляя значения координат в систему (17), можно определить $\partial w / \partial \alpha_1$ и $\partial w / \partial \alpha_2$. Это равносильно тому, что на всей поверхности сферического сегмента определены частные производные функции $w(\alpha_1; \alpha_2)$. При известных частных производных первообразную функцию можно найти с помощью криволинейного интеграла [3]

$$w(\alpha_1; \alpha_2) = \int \frac{\partial w}{\partial \alpha_1} d\alpha_1 + \frac{\partial w}{\partial \alpha_2} d\alpha_2 + w_0$$

Значения w можно определить для любых точек на сфере с точностью до произвольной постоянной w_0 .

Аналогичные выражения можно вывести для других систем. Например, опустив число 2 в (7), (8), (10) и (17), можно получить формулы для схемы, в которой точечный источник удален в бесконечность, а отражающая поверхность - пологая параболоида вращения.

Очевидно, что полученные выражения можно использовать для систем, разрешение которых существенно хуже дифракционного предела.

ЛИТЕРАТУРА

1. Пурыев Д.Г. Методы контроля оптических асферических поверхностей. - М.: Машиностроение, 1976.
2. Рашевский П.К. Курс дифференциальной геометрии. - М.: ГИТТЛ, 1956.
3. Фихтенгольц Г.Н. Курс дифференциального и интегрального исчисления. - М.: Наука, 1970.

Институт механики НАН Армении

Поступила в редакцию
14.03.1996